

Лекция 5. Математические модели движения

Гравитационное поле притягивающего тела считается «сильным»,

если
$$g \gg a = \frac{P}{M}.$$

Для КА с ЭРДУ $a = 1 \cdot 10^{-3} \text{ м/с}^2 \dots 1 \cdot 10^{-4} \text{ м/с}^2$ (1 мм/с² ... 0,1 мм/с²)

Гравитационное ускорение на поверхности Земли $g_0 = 9,81 \text{ м/с}^2.$

Гравитационное ускорение на поверхности Луны $g_{moon} = 1,62 \text{ м/с}^2.$

Гравитационное ускорение на поверхности Марса $g_{mars} = 3,71 \text{ м/с}^2.$

Гравитационное ускорение на поверхности Венеры $g_{venus} = 8,87 \text{ м/с}^2.$

Поле тяготения Солнца – относительно «слабое», на расстоянии среднего радиуса орбиты Земли (1 а.е.)

$g_{sun} = 5,97 \cdot 10^{-3} \text{ м/с}^2$ (5,97 мм/с²). При $a = 1 \text{ мм/с}^2$ $\frac{a}{g_{sun}} \approx \frac{1}{6}$



1. Простейшие режимы плоского движения КА с малой тягой в центральном поле тяготения

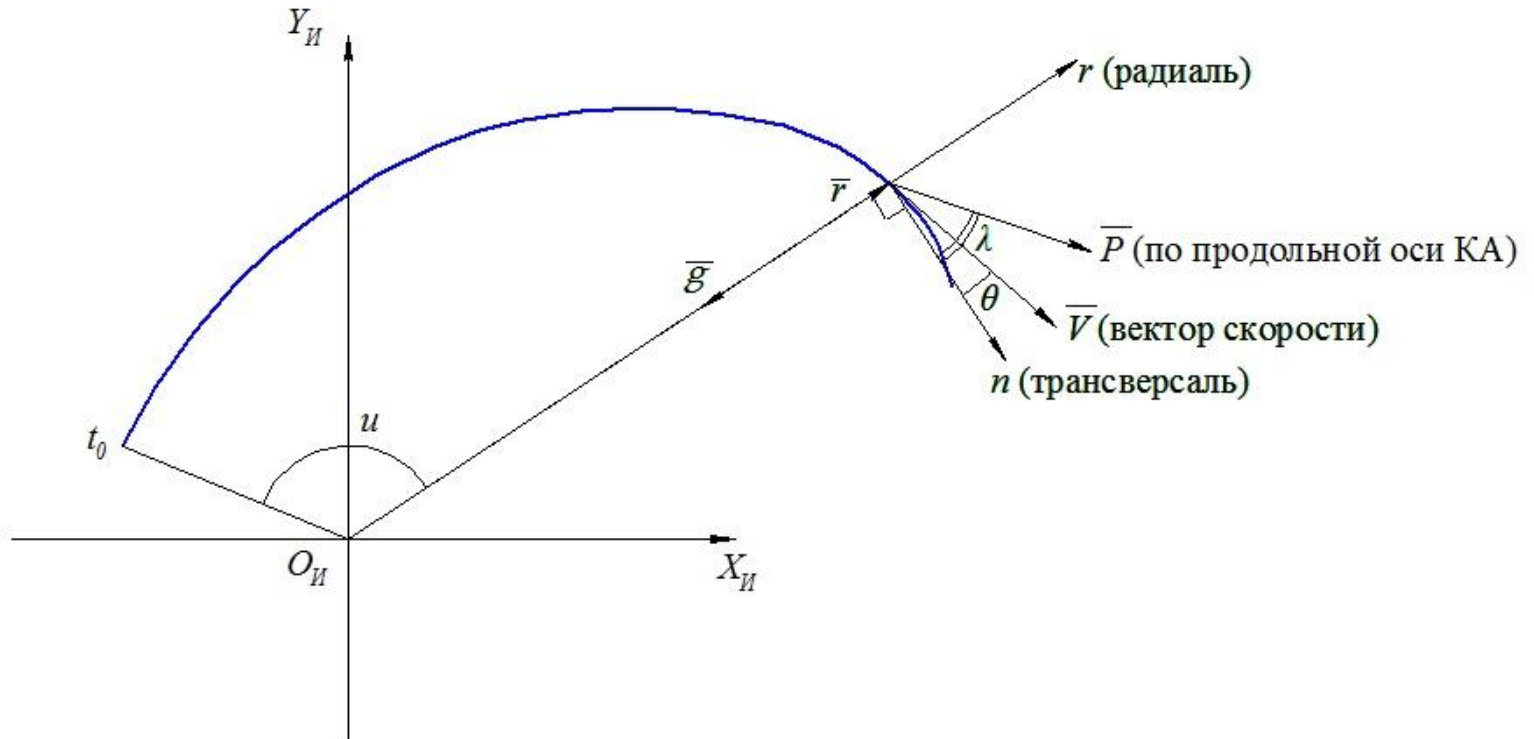


Рис. 1.11

трансверсальная тяга

$$\lambda = 0$$

тангенциальная тяга

$$\lambda = \theta$$

радиальная тяга

$$\lambda = \frac{\pi}{2}$$



Траектория КА – многовитковая спираль

$$\frac{dr}{dt} = r \dot{\theta} = V \sin \theta,$$

$$\frac{du}{dt} = \frac{V}{r} \cos \theta,$$

$$\frac{dV}{dt} = a \cos(\lambda - \theta) - \frac{\mu}{r^2} \sin \theta,$$

$$V \frac{d\theta}{dt} = a \sin(\lambda - \theta) - \frac{V^2}{r} \cos \theta - \frac{\mu}{r^2} \cos \theta.$$

Уравнения плоского движения КА в траекторной системе координат $Oxyz$

θ - угол наклона траектории, λ – угол отклонения тяги от трансверсали,
 $\mu = f \times M_{Earth}$ – произведение гравитационной постоянной на массу притягивающего центра (гравитационный параметр).



Полная энергия поступательного движения центра масс КА (на единицу массы)

$$h = \frac{H}{M} = \frac{V^2}{2} - \frac{\mu}{r}.$$

$$\frac{dh}{dt} = V \frac{dV}{dt} + \frac{\mu}{r^2} \frac{dr}{dt} = V \left[a \cos(\lambda - \theta) - \frac{\mu}{r^2} \sin \theta \right] + \frac{\mu}{r^2} V \sin \theta = Va \cos(\lambda - \theta);$$

$$\frac{dh}{dt} \rightarrow \max \Rightarrow \lambda \equiv \theta \quad (\text{тангенциальная тяга}).$$

Околокруговая орбита, трансверсальная тяга

$$\frac{dh}{dt} = Va; \quad V^2 \approx \frac{\mu}{r} \rightarrow h = \frac{V^2}{2} - V^2 = -\frac{V^2}{2} (< 0); \quad \text{«Парадокс разгона» с малой тягой}$$

$$\frac{dh}{dt} = Va = \frac{d}{dt} \left(-\frac{V^2}{2} \right) = -V \frac{dV}{dt}.$$

$$\frac{dV}{dt} \approx -a$$

Скорость при разгоне уменьшается!





Приближенные решения для случая трансверсальной тяги

Допущения: $\lambda \equiv 0$; $M = const$; $a = const$.

Безразмерные (относительные) переменные

$$r' = \frac{r}{r_0}, \quad V' = \frac{V}{V_{кр0}}, \quad a' = \frac{a}{g_0}, \quad t' = \frac{t}{\sqrt{\frac{r_0^3}{\mu}}}, \quad \mu' = \frac{\mu}{\mu} = 1, \quad T_{об} = 2\pi \sqrt{\frac{r^3}{\mu}}$$
$$t' = 2\pi \frac{t}{T_{об}}$$

Витки траектории до момента $t \approx 0,9T_{пар}$ остаются близкими к круговым

$$(V_{пар} = \sqrt{2} \cdot V_{кр})$$

$$\frac{dV'}{dt'} = -a'$$

$$r' = \frac{1}{(V')^2}$$

$$r' \approx (1 - a't')^{-2}$$

$$V' \approx 1 - a't'$$

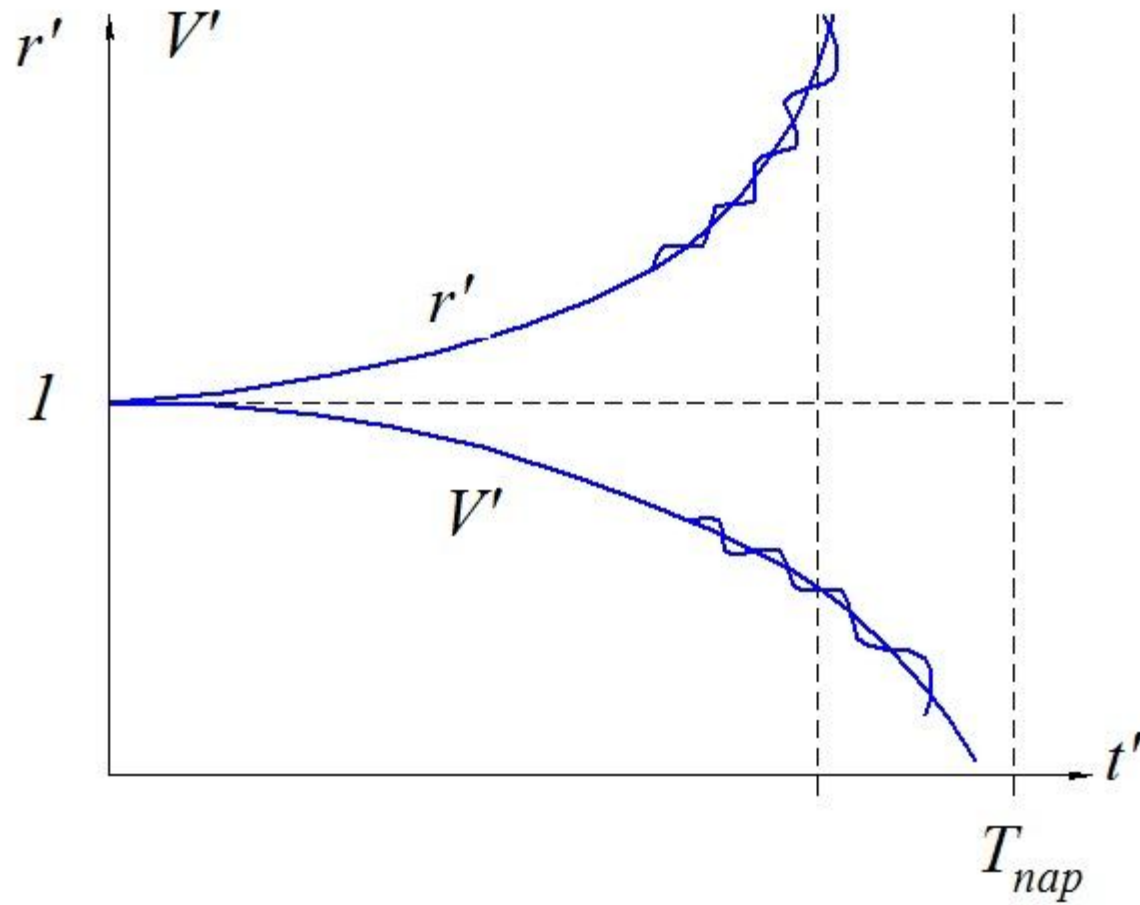


Рис. 1.12



2. Уравнения плоского движения КА в орбитальной системе координат (рис. 1.11)

$$\frac{dr}{dt} = V_r;$$

$$\frac{du}{dt} = \frac{V_T}{r};$$

$$\frac{dV_r}{dt} = \frac{V_T^2}{r} - \frac{\mu}{r^2} + a \cos \lambda;$$

$$\frac{dV_T}{dt} = -\frac{V_r V_T}{r} + a \sin \lambda.$$

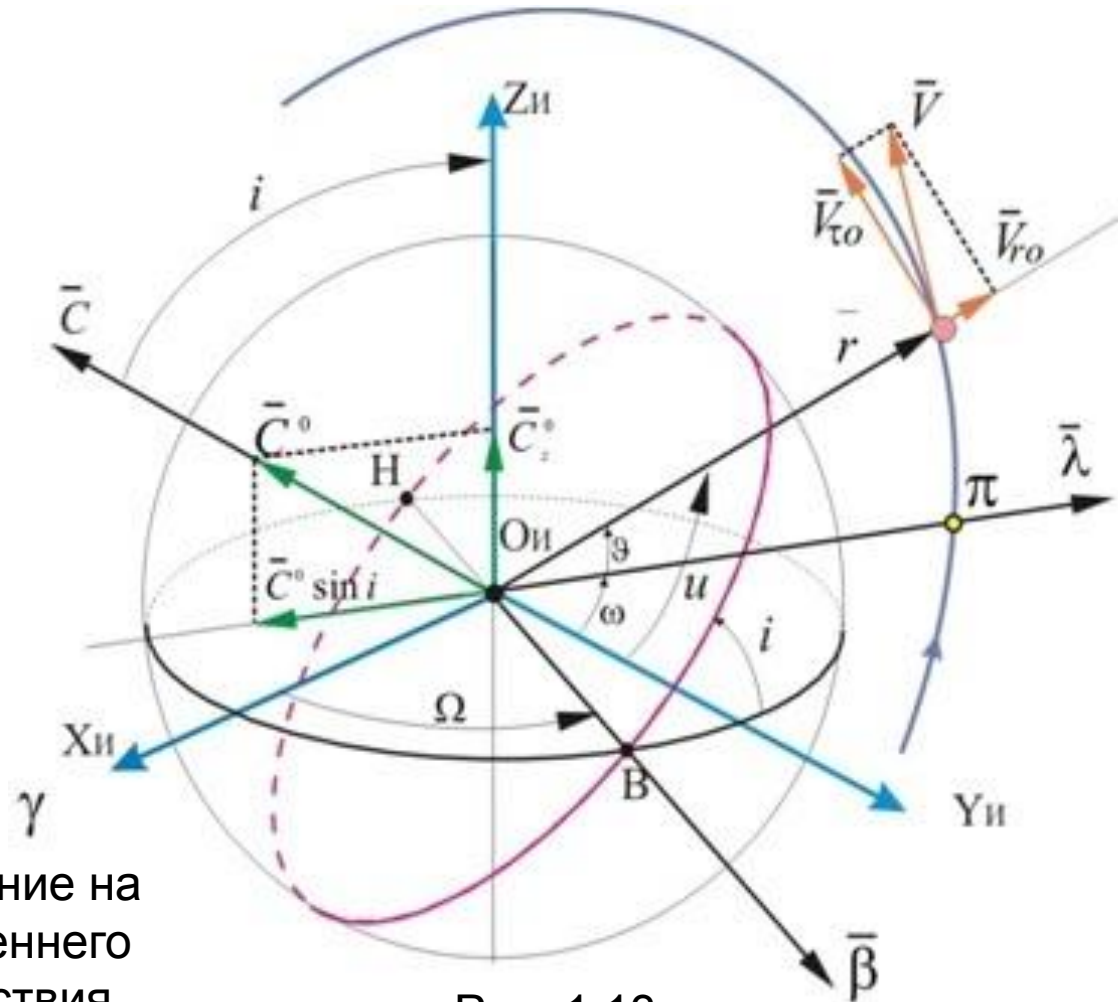
OTSW (onrb)

OT – трансверсаль,
OS – радиаль,
OW – бинормаль.



Лекция 6. Математическая модель пространственного движения КА

2. Математическая модель движения КА в оскулирующих элементах



Направление на точку весеннего равноденствия

Рис. 1.13



Уравнения движения в оскулирующих элементах

$$\frac{dA}{dt} = \frac{2p}{(1-e^2)^2} \sqrt{\frac{p}{\mu}} \cdot [e \sin \vartheta \cdot S + (1 + e \cos \vartheta) \cdot T];$$

$$\frac{de}{dt} = \sqrt{\frac{p}{\mu}} \cdot \left[\sin \vartheta \cdot S + \frac{e \cos^2 \vartheta + 2 \cos \vartheta + e}{1 + e \cos \vartheta} \cdot T \right];$$

$$\frac{di}{dt} = \sqrt{\frac{p}{\mu}} \cdot \frac{\cos u}{1 + e \cos \vartheta} \cdot W;$$

$$\frac{d\omega}{dt} = \frac{1}{e} \sqrt{\frac{p}{\mu}} \cdot \left[-\cos \vartheta \cdot S + \frac{\sin \vartheta (2 + e \cos \vartheta)}{1 + e \cos \vartheta} \cdot T - \frac{e \sin u \cdot \text{ctgi}}{1 + e \cos \vartheta} \cdot W \right];$$

$$\frac{d\Omega}{dt} = \sqrt{\frac{p}{\mu}} \cdot \frac{\sin u}{\sin i (1 + e \cos \vartheta)} \cdot W;$$

$$\frac{du}{dt} = \frac{\sqrt{\mu p}}{p^2} \cdot \left[(1 + e \cos \vartheta)^2 + \frac{p^2}{(1 + e \cos \vartheta) \mu} \cdot \sin u \cdot \text{ctgi} \cdot W \right].$$



Здесь $p=A(1-e^2)$ – фокальный параметр; $\vartheta = u - \omega$ – истинная аномалия; e – эксцентриситет; ω – угловое расстояние перицентра от узла; Ω – долгота восходящего узла; i – наклонение орбиты; t – время; u – аргумент широты; S , T , W – проекции реактивного ускорения на направление радиуса-вектора, на перпендикулярное к нему в плоскости орбиты и на перпендикулярное к плоскости орбиты; $\mu=fM$ – произведение гравитационной константы на массу притягивающего центра.

Выражение для компонент реактивного ускорения в орбитальной системе координат

$$T = \delta a \cos \lambda \cos \psi; \quad S = \delta a \sin \lambda \cos \psi; \quad W = \delta a \sin \psi.$$

Здесь a – модуль полного реактивного ускорения, δ – функция включения-выключения двигателей ($\delta = \{0, 1\}$); λ – угол ориентации вектора тяги в плоскости орбиты ($\lambda \in [0^0, 180^0]$); ψ – угол ориентации вектора тяги в плоскости местного горизонта ($\psi \in [-90^0, 90^0]$).

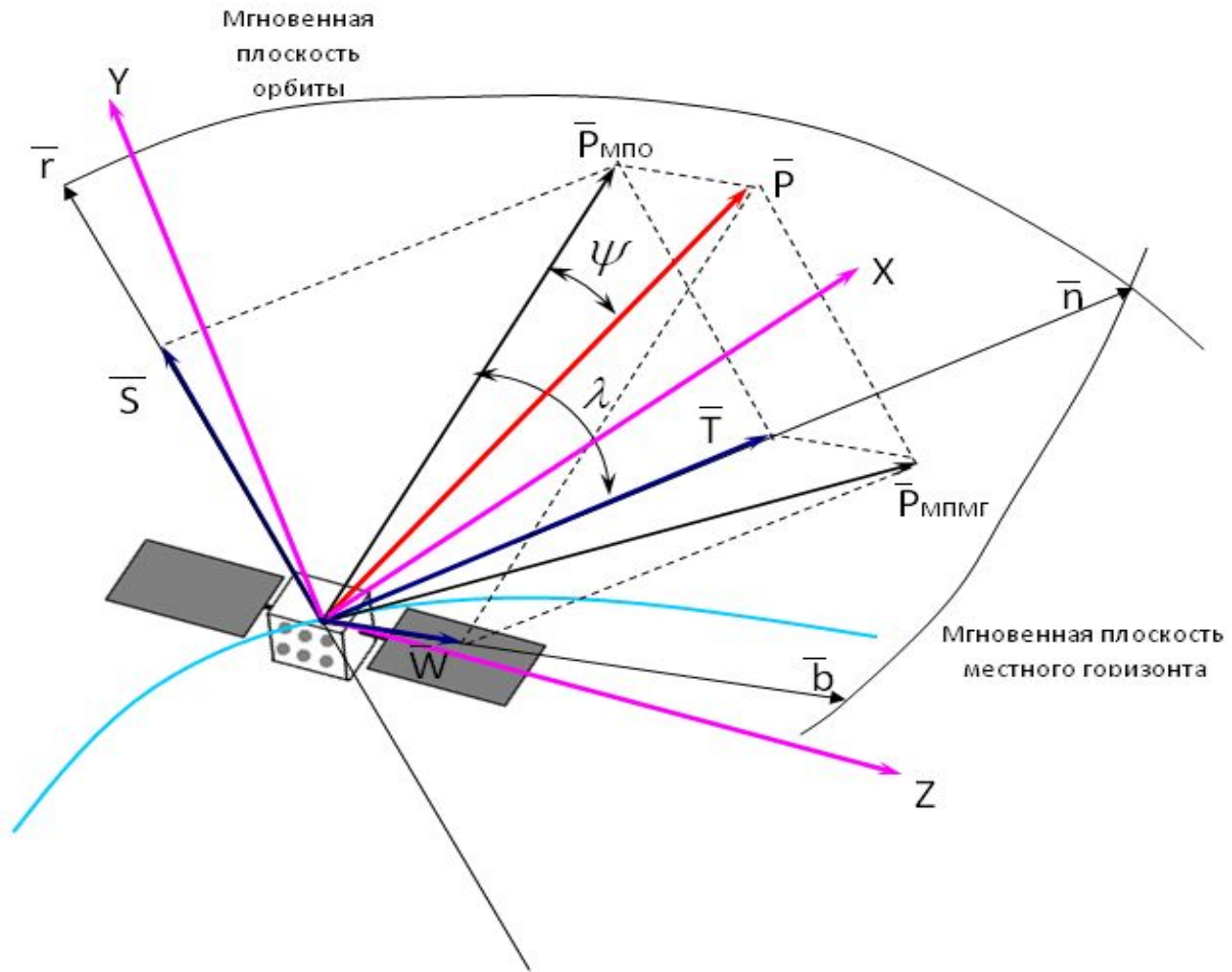


Рис. 1.14



Способы раздельного управления элементами орбиты

$$\frac{dA}{dt} \rightarrow \max \Rightarrow e \sin \vartheta \sin \lambda \cos \psi + (1 + e \cos \vartheta) \cos \lambda \cos \psi \rightarrow \max$$

$$\frac{de}{dt} \rightarrow \max \Rightarrow \sin \vartheta \sin \lambda \cos \psi + \frac{e \cos^2 \vartheta + 2 \cos \vartheta + e}{1 + e \cos \vartheta} \cos \lambda \cos \psi \rightarrow \max$$

$$\frac{di}{dt} \rightarrow \max \Rightarrow \frac{\cos u}{\sin i(1 + e \cos \vartheta)} \sin \psi \rightarrow \max$$

$$\frac{d\omega}{dt} \rightarrow \max \Rightarrow -\cos \vartheta \sin \lambda \cos \psi + \frac{\sin \vartheta(2 + e \cos \vartheta)}{1 + e \cos \vartheta} \cos \lambda \cos \psi - \frac{e \sin u \cdot \operatorname{ctg} i}{1 + e \cos \vartheta} \sin \psi \rightarrow \max$$

$$\frac{d\Omega}{dt} \rightarrow \max \Rightarrow \frac{\sin u}{\sin i(1 + e \cos \vartheta)} \sin \psi \rightarrow \max$$



Частный случай: околосферные многовитковые траектории ($e \approx 0$)
Радиальная составляющая реактивного ускорения $S = 0$.
Трансверсальная T и бинормальная W составляющие

$$\frac{dA}{dt} \approx 2A \sqrt{\frac{A}{\mu}} \cdot T \quad \longrightarrow \quad \text{sign } T = \text{sign } \Delta A$$

$$\frac{de}{dt} \approx 2 \sqrt{\frac{A}{\mu}} \cos \vartheta \cdot T \quad \longrightarrow \quad \text{sign } T = \pm \text{sign}(\cos \vartheta)$$

$$\frac{di}{dt} \approx \sqrt{\frac{A}{\mu}} \cos u \cdot W \quad \longrightarrow \quad \text{sign } W = \pm \text{sign}(\cos u)$$

$$\frac{d\Omega}{dt} \approx \sqrt{\frac{A}{\mu}} \frac{\sin u}{\sin i} \cdot W \quad \longrightarrow \quad \text{sign } W = \pm \text{sign}(\sin u)$$

($\sin i \neq 0$!)

u – аргумент широты, угол между линией узлов НВ и радиусом-вектором КА r ,
лежит в плоскости оскулирующей орбиты;

ϑ - истинная аномалия, угол между направлением на перицентр (перигей) и
радиусом-вектором КА.



3. Векторные уравнения движения центра масс КА в инерциальной (абсолютной) системе координат

$$\frac{d\bar{r}}{dt} = \bar{V}, \quad \frac{dM}{dt} = -q = -\frac{P}{c},$$

$$\frac{d\bar{V}}{dt} = \frac{P \cdot \delta}{M(t)} \bar{e}(t) + \bar{g}(\bar{r}) + \bar{f}.$$

Здесь $\bar{g}(\bar{r})$ - гравитационное ускорение от основного притягивающего центра, \bar{f} - вектор возмущающего ускорения.

Основные возмущающие факторы

$$\bar{f} = \bar{f}_a + \bar{f}_g + \bar{f}_m + \bar{f}_s$$

возмущения от
верхней
атмосферы

гравитационные
возмущения,
вызванные учетом
гармоник высших
порядков

возмущения,
обусловленные
притяжением
Луны

Возмущения,
обусловленные
притяжением
Солнца





Системы координат. Связь траекторного и углового движений

Инерциальная (абсолютная) СК	- $O_{И} X_{И} Y_{И} Z_{И}$
Траекторная СК	- $Oxyz$
Связанная СК	- $OXYZ$
Орбитальная СК	- O_{nrb} (OTSW)

Полная система уравнений (Модель 5)

$$\frac{d\bar{Q}}{dt} = \bar{F}_0, \quad \bar{Q} = M(t) \cdot \bar{V} \quad - \text{вектор количества движения,}$$
$$\frac{d\bar{K}}{dt} + \bar{\omega} \times \bar{K} = \bar{M}_0, \quad \bar{K} = J(t) \cdot \bar{\omega} \quad - \text{вектор кинетического момента.}$$

J – тензор инерции КА,

$$J = \begin{bmatrix} J_x & -J_{xy} & -J_{xz} \\ -J_{yx} & J_y & -J_{yz} \\ -J_{zx} & -J_{zy} & J_z \end{bmatrix}$$



$$M(t) \cdot \frac{d\bar{V}}{dt} = \bar{F}_0,$$

$$J(t) \cdot \frac{d\bar{\omega}}{dt} + \bar{\omega} \times J(t) = M_0, \quad \bar{\omega} = \bar{\omega}_{orb} + \bar{\omega}_{св}.$$

Кинематические уравнения

$$\frac{d\bar{r}}{dt} = \bar{V},$$

$$\frac{d\bar{i}}{dt} = \bar{\omega} \times \bar{i}, \quad \frac{d\bar{j}}{dt} = \bar{\omega} \times \bar{j}, \quad \frac{d\bar{k}}{dt} = \bar{\omega} \times \bar{k}.$$

$\bar{i} \sim OX$; $\bar{j} \sim OY$; $\bar{k} \sim OZ$ (связанные оси).

Для КА с непрерывно работающим ЭРД существенную роль играет взаимосвязь траекторного и углового движений, поскольку для эффективного управления вектором тяги \bar{P} зачастую приходится разворачивать корпус КА с помощью управляющих моментов.



Лекция 8. Выбор параметров околоземной орбиты старта при межорбитальных перелетах с малой тягой

Выбор высоты орбиты старта с учетом возмущающего влияния верхней атмосферы Земли

Необходимое условие для осуществления маневров с малой тягой на низких орбитах

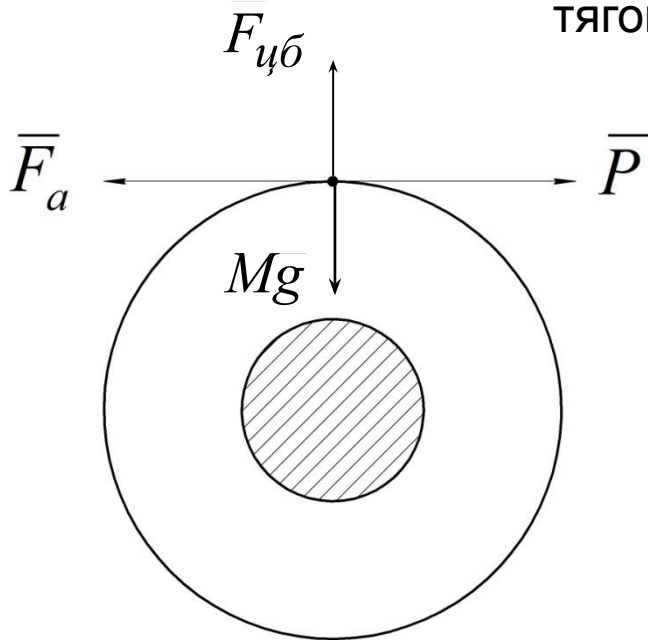


Рис. 1.15

$$P > F_a = C_{Xa} \frac{\rho V^2}{2} S_m,$$

$$a > f = \frac{C_{Xa} S_m}{2M} \rho V^2 = \sigma_x \rho V^2$$

Интегрально за виток

$$\int_0^{T_{об}} \frac{P}{M} dt \gg \int_0^{T_{об}} \sigma_x \rho V^2 dt$$

σ_x - баллистический коэффициент КА,
 ρ - плотность верхней атмосферы Земли,
 S_m - площадь миделевого сечения КА.

а) $\sigma_x = \sigma_{хсп} = const$
 (0,001 – 0,02 м²/кг)

б) $\sigma_x = \sigma_{x0} + \sigma_1 \cos(u - u_0)$

Площадь миделя КА: $S_m \approx k S_{max}$ (максимальная площадь проекции КА+СБ)



Модели плотности верхней атмосферы Земли

«Статическая» модель (плотность зависит только от высоты H)

$$1) \rho = \rho_0 \cdot e^{-\beta H} \text{ (изотермическая)} \quad 2) \rho = \rho_0 \cdot \exp(a_1 - a_2 \sqrt{H - a_3})$$

(ГОСТ 25645.101-83)

«Динамическая» модель плотности верхней атмосферы

$$\rho = \rho_H \cdot k_1 \cdot k_2 \cdot k_3 \cdot k_4 + \delta\rho$$

Здесь ρ_H – плотность «ночной» атмосферы

k_1 – сомножитель, отражающий изменение плотности с изменением индекса интенсивности солнечного излучения на волне 10,7 см ($F_{10,7}$) относительно среднего F_0

$$F_{10,7} = 65 \dots 275 \text{ Вт/м}^2\text{Гц}$$

k_2 – сомножитель, учитывающий суточный эффект в распределении плотности («горб» в точке зенита)



k_3 – сомножитель, отражающий полугодовые вариации плотности (зима - лето)

k_4 – сомножитель, учитывающий корреляции между плотностью и геомагнитной возмущенностью

$\delta\rho$ – случайные вариации плотности

а) переменного характера

б) «вспышка» на Солнце

Высота над поверхностью земного эллипсоида

$$H = r - R_3 \left(1 - \varepsilon \cdot \sin^2 i \cdot \sin^2 u \right)$$

где $r = H + R_3$, $R_3 = 6371$ км – средний радиус

R_3 = экваториальный радиус, 6378,245 км

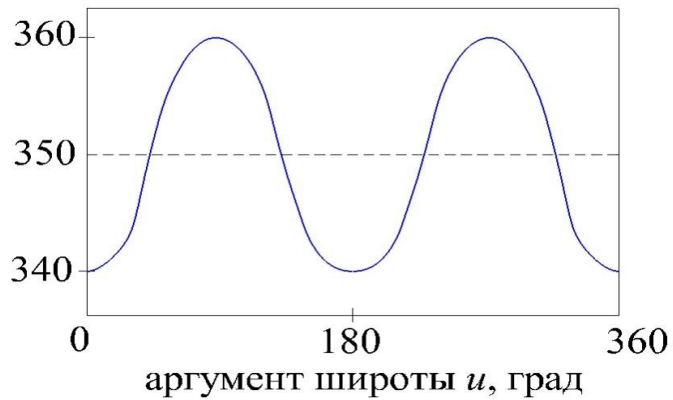
$\varepsilon = 0,0034$ – коэффициент сжатия земного эллипсоида

i – наклонение орбиты

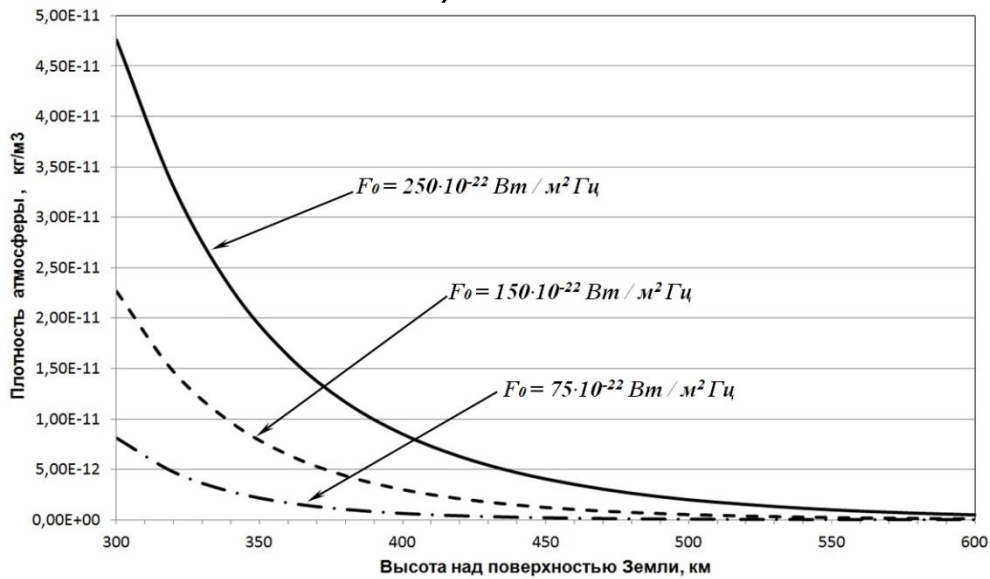
u – аргумент широты



H, км

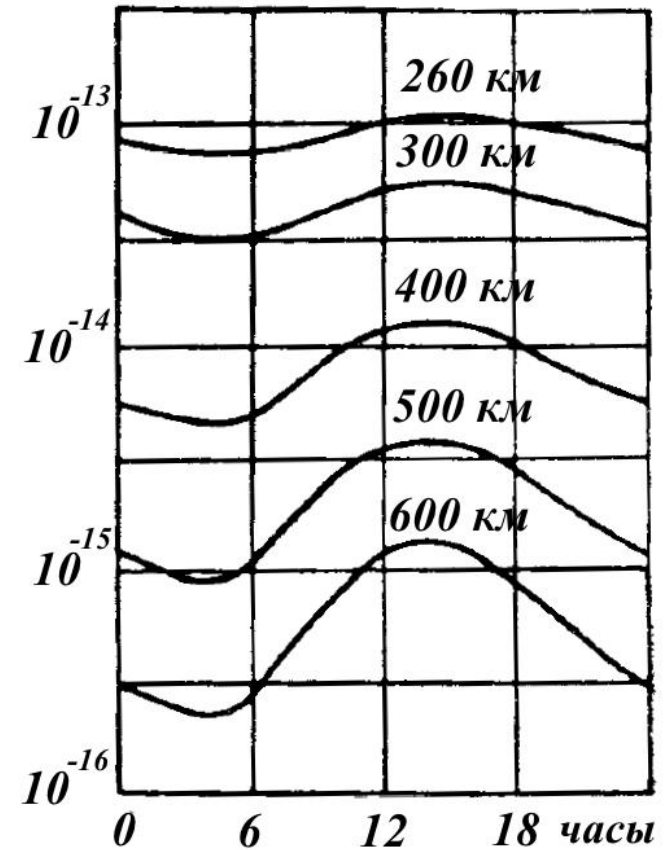


а)



б)

$\rho, \text{г/см}^3$



в)

Рис. 1.16



Справочная таблица плотности, ρ кг/м³
(Г.С. Нариманов, М.К. Тихонравов)

Н, км	$F_{10,7} = 65 - 70$		$F_{10,7} = 250 - 275$	
	НОЧЬ	день	НОЧЬ	день
200	$1,69 \times 10^{-10}$	$2,20 \times 10^{-10}$	$3,76 \times 10^{-10}$	$3,98 \times 10^{-10}$
300	$5,72 \times 10^{-12}$	$15,1 \times 10^{-12}$	$4,35 \times 10^{-11}$	$6,63 \times 10^{-11}$
400	$4,43 \times 10^{-13}$	$21,6 \times 10^{-13}$	$8,8 \times 10^{-12}$	$18,9 \times 10^{-12}$
500	$4,87 \times 10^{-14}$	$40,6 \times 10^{-14}$	$2,3 \times 10^{-12}$	$6,65 \times 10^{-12}$



2. Выбор оптимальной даты старта из условия минимума суммарного времени нахождения КА в тени Земли

Особенности полета КА с ЭРДУ

- периодическое попадание КА в тень Земли

а) ЭРДУ выключается из-за отсутствия энергии

б) задействуются буферные аккумуляторные батареи

для обеспечения работы бортовых систем. Включение

ЭРДУ требует увеличения емкости (массы) АБ



Физическая картина взаимного положения Солнца, Земли и КА при межорбитальных перелетах

- плоскость орбиты КА постоянно изменяется вследствие

а) работы ЭРДУ

б) прецессии орбиты вследствие сжатия Земли
(изменение Ω)

в) из-за большой (90 – 150 суток) продолжительности
перелета Земля перемещается по эклиптике
($\omega_3 \approx 1$ градус/сутки)

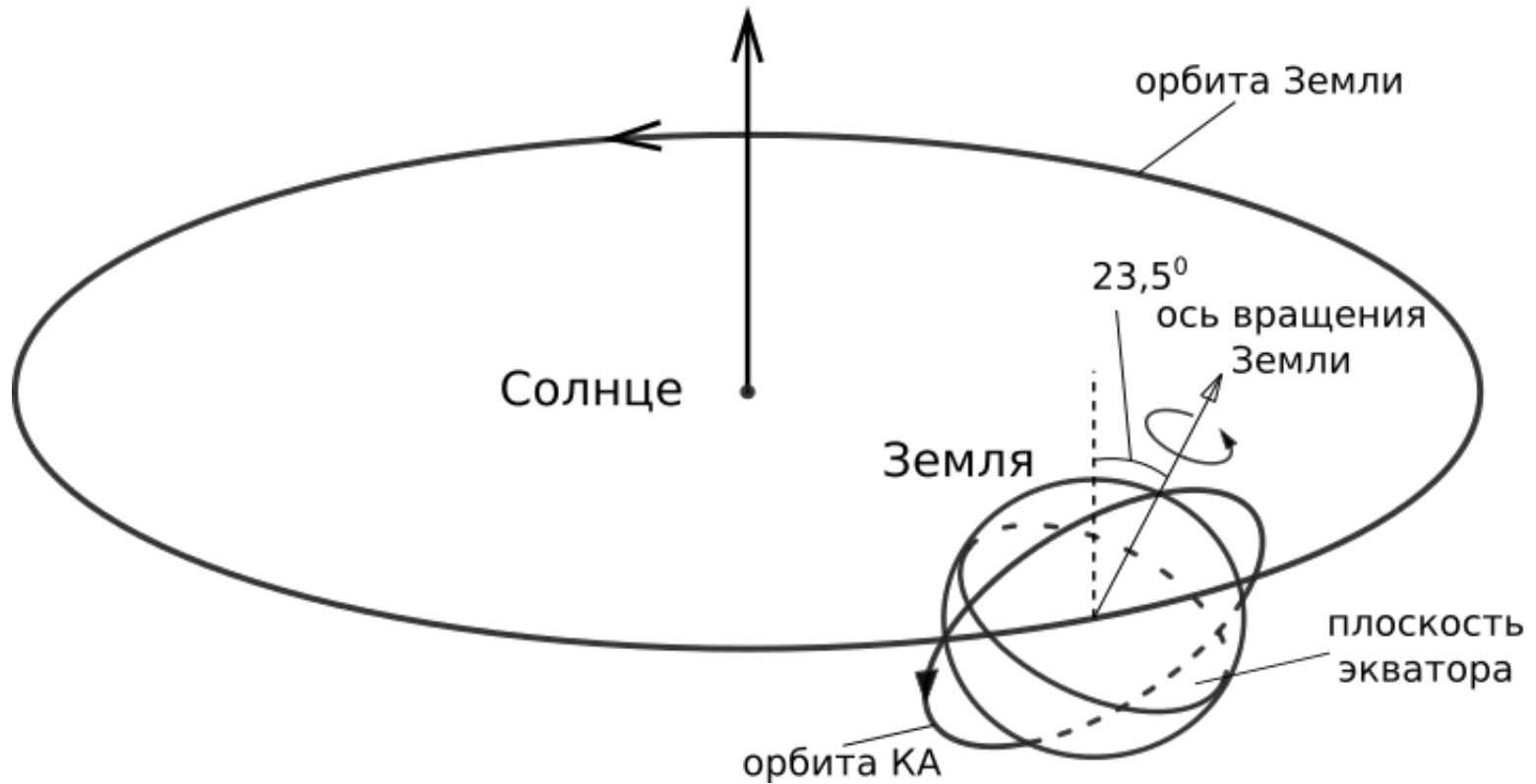


Рис. 1.17

Расположение плоскости орбиты КА относительно плоскости эклиптики

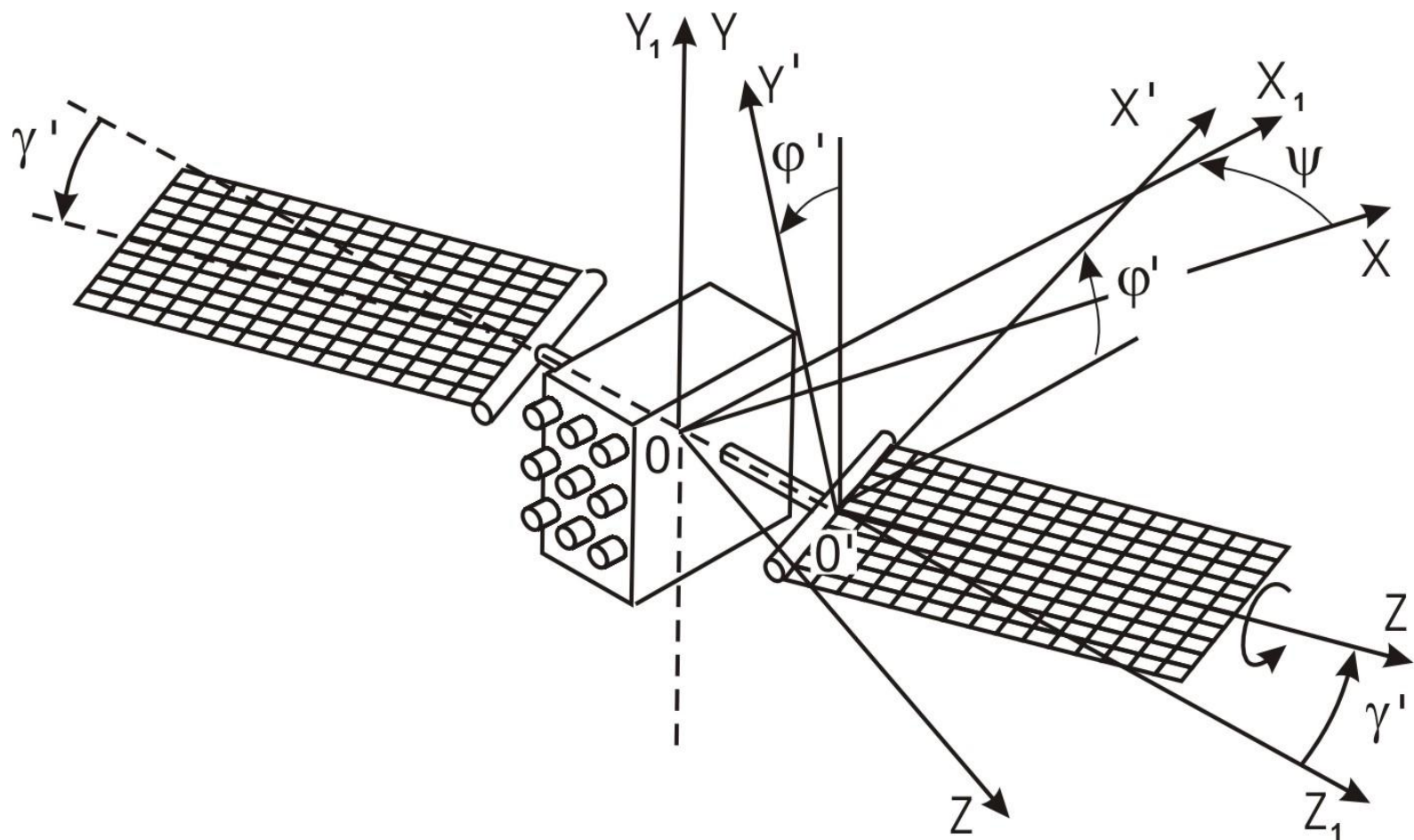


Рис. 1.18

Параметры углового положения космического аппарата и солнечных батарей

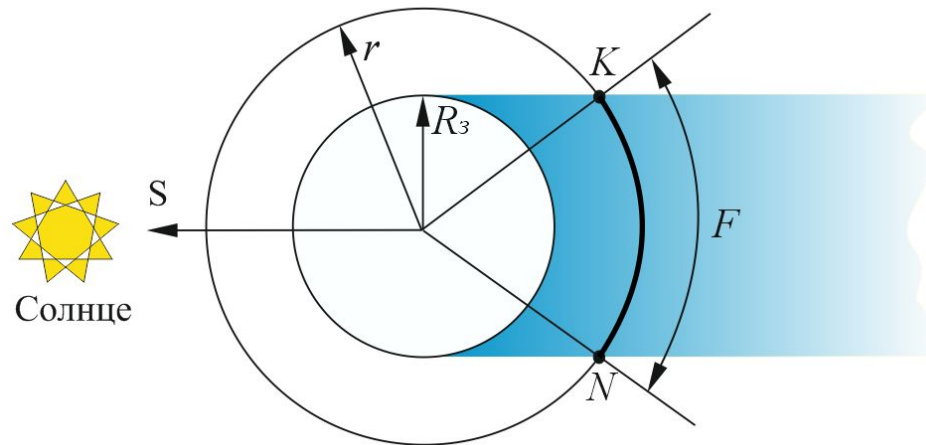
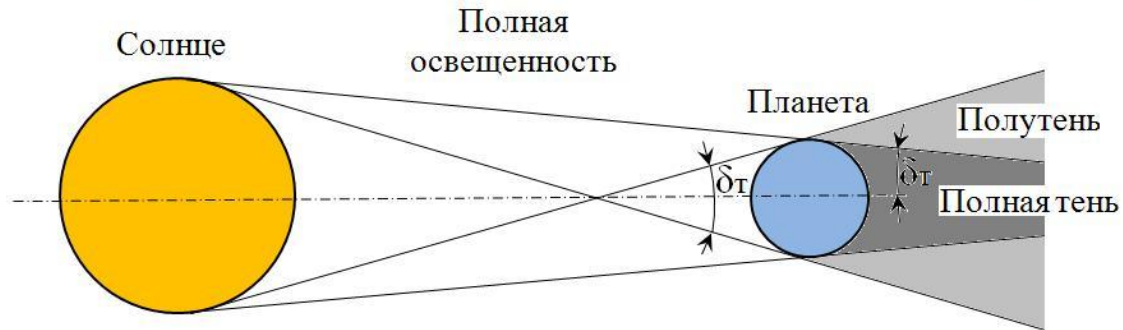


Рис. 1.19

К определению теневого участка на орбите



Протяженность теневого участка (околокруговая орбита)

$$F = \arcsin \sqrt{\frac{\left(\frac{R_{\odot}}{r}\right)^2 - \cos^2 \delta}{\sin^2 \delta}} \times \frac{\text{sign}\left[\left(\frac{R_{\odot}}{r}\right)^2 - \cos^2 \delta\right] + 1}{2}$$

δ – угол между направлением на Солнце и нормалью к плоскости орбиты

$$\cos \delta = \cos i \sin \varepsilon_0 \sin \theta - \sin i \cos \varepsilon_0 \cos \Omega \sin \theta + \sin i \sin \Omega \cos \theta$$

ε_0 – угол наклона плоскости экватора к плоскости эклиптики, $\varepsilon_0 = 23,5^\circ$

θ – угол между направлением на точку весеннего равноденствия и линией Земля-Солнце

$$\theta \approx \theta_0 + \omega(t - t_0), \quad \theta_0 \approx 0,0172 \cdot (T_{CT} - 80)$$

Ω – долгота восходящего узла

T_{CT} – число суток с начала года до момента старта



Прецессия орбиты (изменение угла Ω)

$$\frac{d\Omega}{dt} = -\frac{3}{2} J_{20} \left(\frac{R_{\oplus}}{r} \right)^2 \cos i \quad (i < 90^{\circ}; i > 90^{\circ})$$

Солнечно-синхронная орбита

Синхронность эволюции плоскости орбиты (прецессия восходящего узла Ω) с относительным перемещением Солнца по небесной сфере.

Обеспечивается постоянная ориентация плоскости орбиты относительно Солнца.

КА появляется над районами с заданной широтой в одно и то же местное время. КА не заходит в тень Земли, освещенность солнечных батарей – постоянная.

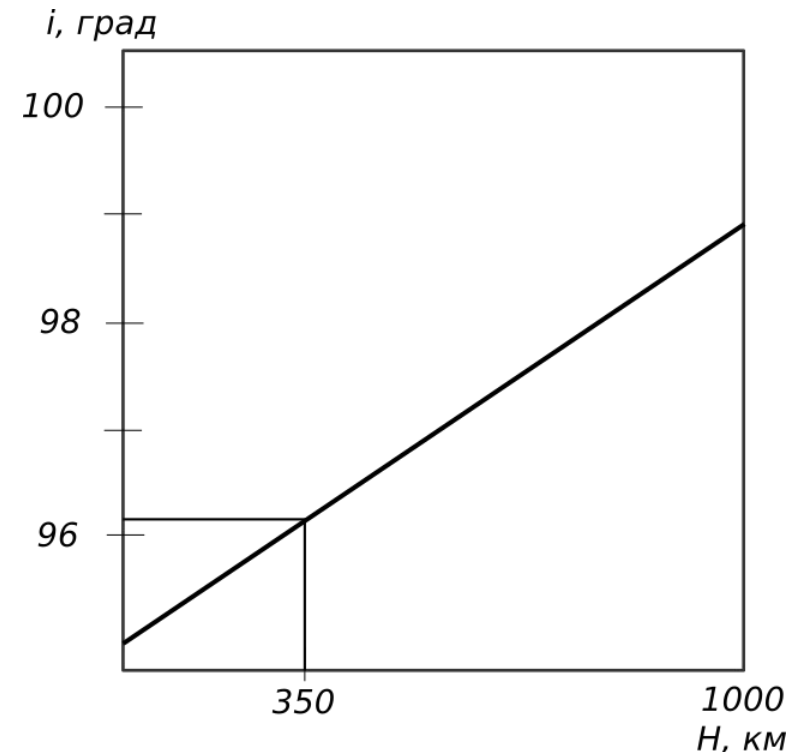


Рис. 1.20

Параметры ССО





Расчет суммарного времени затенения

$$\tau_c = \sum_{i=1}^N (t_{\text{вых } i} - t_{\text{вх } i})$$

N – число витков траектории перелета

$$\tau_c = \frac{1}{2\pi} \int_0^{T_{\text{пер}}} F dt \approx \sum_{j=1}^N \frac{F_j}{2\pi} \Delta t$$

Параметры расчета: $T_{\text{СТ}}$, Ω_0

$T_{\text{СТ}}$ – число суток с начала года до момента старта с опорной орбиты

Параметры расчета перебираются с высокой дискретностью, формируется массив значений τ_c , значения обрабатываются специальной программой (сплайн – аппроксимация) и наносятся на плоскость: $\Omega_0 - T_{\text{СТ}}$.

Оптимальные даты старта ($\tau_c \approx 0$) повторяются с периодичностью в 6 месяцев.

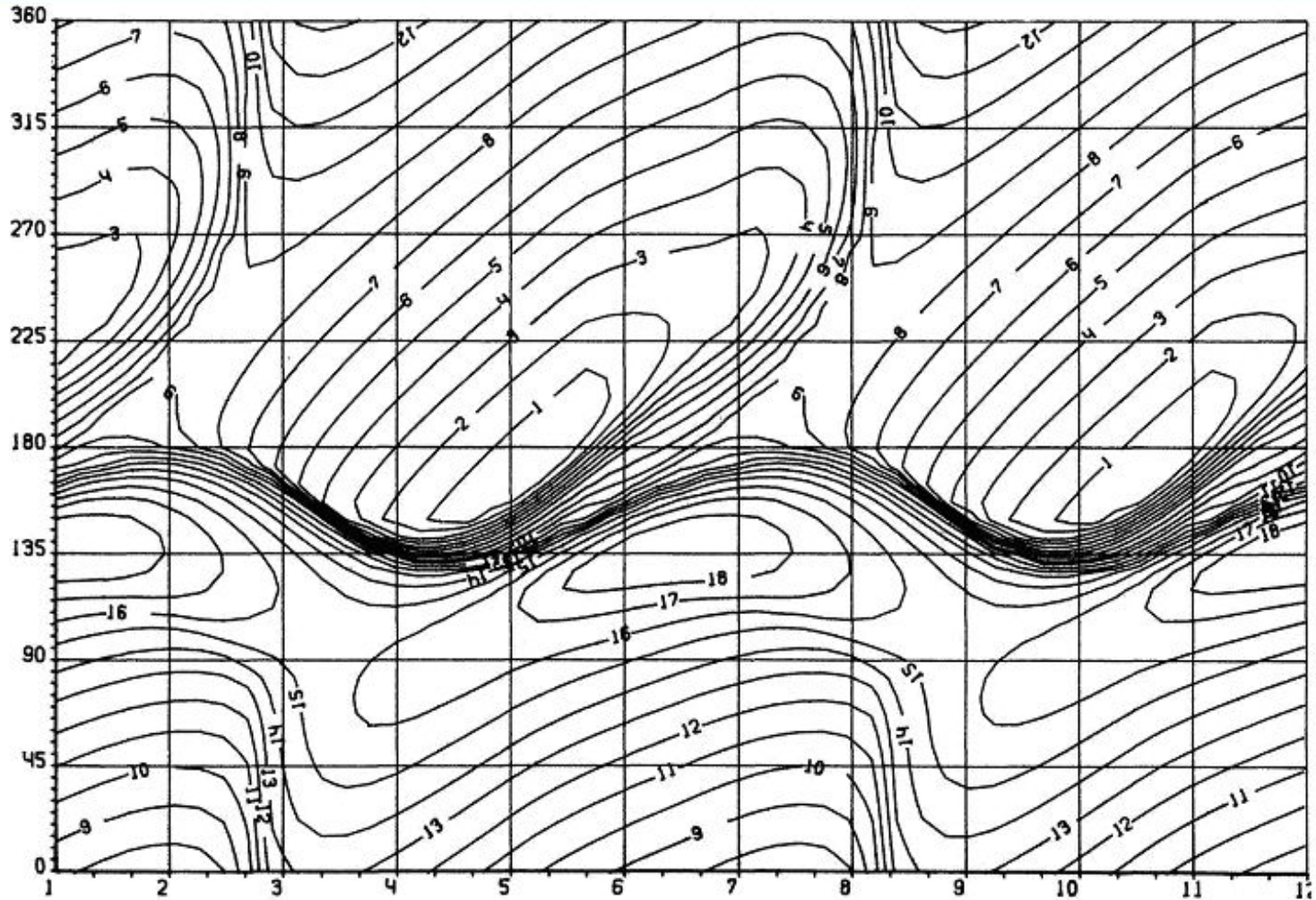


Рис. 1.21 К выбору оптимальных дат старта

$$a_0 = 1 \times 10^{-3} \text{ м/с}^2$$